



Pitié-Salpêtrière

Université Pierre-et-Marie-Curie

**Faculté de Médecine
Pierre-et-Marie-Curie
PCEM 1**

Support de cours

CHIMIE GENERALE

CHAPITRE II - LIAISONS CHIMIQUES

Professeur Antoine GEDEON

Professeur Ariel de KOZAK

(mise à jour : 28/5/2007)

CHAPITRE II : LIAISONS CHIMIQUES

1. Liaisons chimiques.

1.1. Schéma de Lewis.

- Schéma de Lewis d'un atome.

Chaque atome est entouré d'un nombre de points égal au nombre d'électrons de valence. Ex: $\text{H}\cdot$; $\cdot\ddot{\text{Cl}}\cdot$

- Schéma de Lewis d'une molécule.

Les atomes s'unissent en mettant chacun en commun un ou plusieurs électrons appartenant à leur couche de valence. Ex: $\text{H}\bullet\text{---}\bullet\text{H}$

1.2. Règle de l'octet.

- Gaz rares \Rightarrow Configuration stable \Rightarrow **Huit électrons sur la couche externe** (sauf pour He : 2 électrons) \Rightarrow **OCTET**
- Chaque atome engagé dans une liaison cherche à acquérir la configuration électronique du gaz rare qui le suit dans la classification périodique :

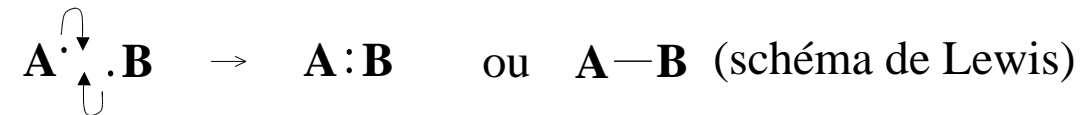
\Rightarrow **OCTET**

1.3. Types de liaisons.

1) **Liaison covalente** : $\Delta \text{EN faible} < 2$ (EN = électronégativité).

C'est une mise en commun d'un ou de plusieurs doublets d'électrons entre deux atomes identiques ou ayant des électronégativités voisines.

Chacun des deux atomes fournit un ou plusieurs électrons de sa couche externe.

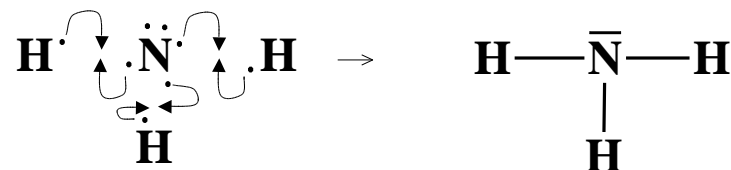


Exemples.

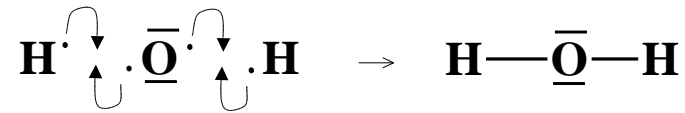
- Formation de la molécule de dichlore Cl_2 : ${}_{17}\text{Cl} : \dots / 3s^2 3p^5 \Rightarrow 7 \text{ électrons de valence}$



- Formation de la molécule d'ammoniac NH_3 : ${}_{7}\text{N} : \dots / 2s^2 2p^3 \Rightarrow 5 \text{ électrons de valence}$



${}_8\text{O} : \dots / 2s^2 2p^4 \Rightarrow 6 \text{ électrons de valence}$

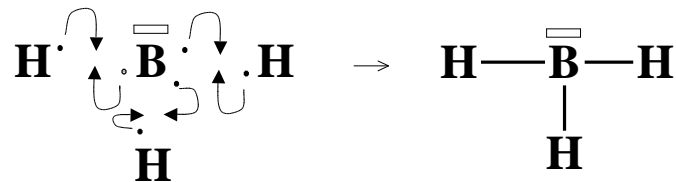


Les doublets assurant des liaisons \Rightarrow **doublets liants**.

Les doublets n'assurant pas de liaison \Rightarrow **doublets non liants** ou **doublets libres**.

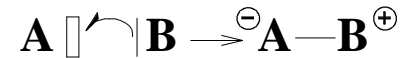
- La formation de liaisons ne conduit pas nécessairement à la saturation de la couche externe par huit électrons (configuration de gaz rare).
- Il peut subsister dans la molécule des cases vides (orbitales) sur certains atomes.

Exemple. Dans l'hydrure de bore BH_3 , le bore possède une orbitale restée vide : c'est une lacune électronique.



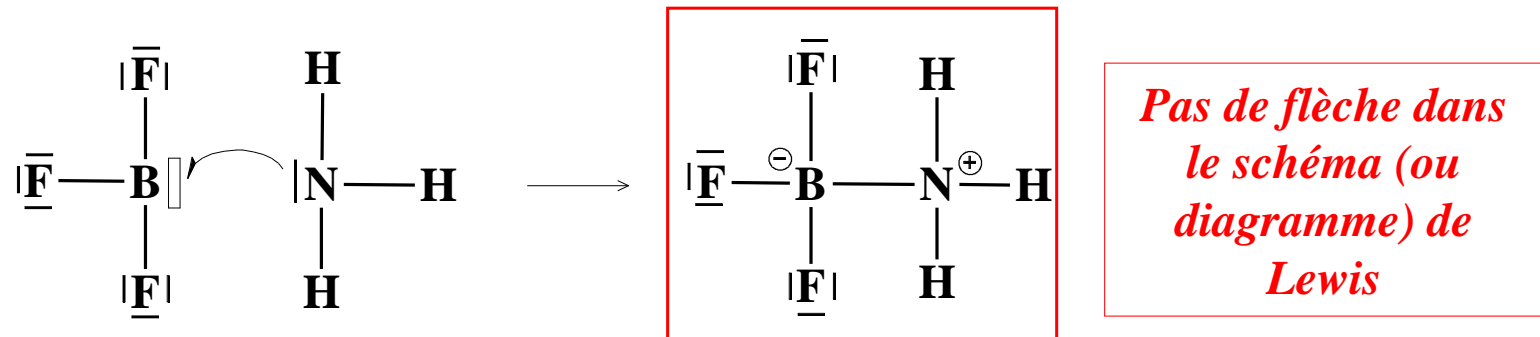
2) Liaison covalente dative.

C'est une mise en commun d'électrons entre un atome B qui possède un doublet libre (non liant) et un autre atome A qui comporte une lacune électronique :

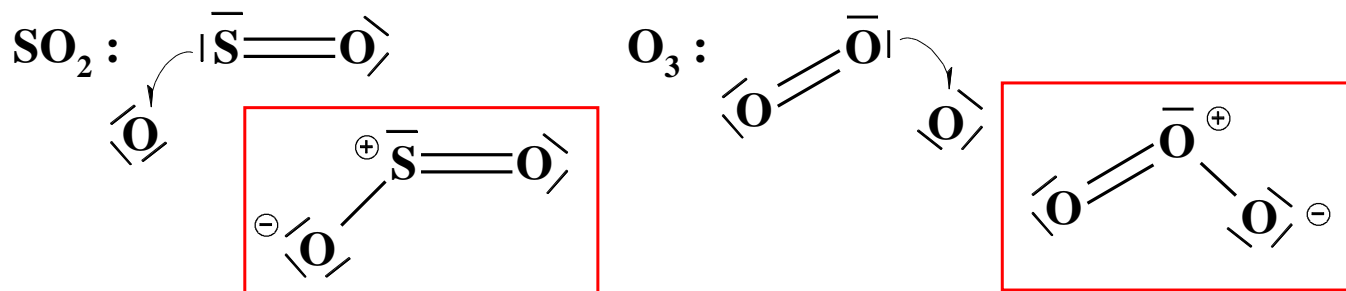


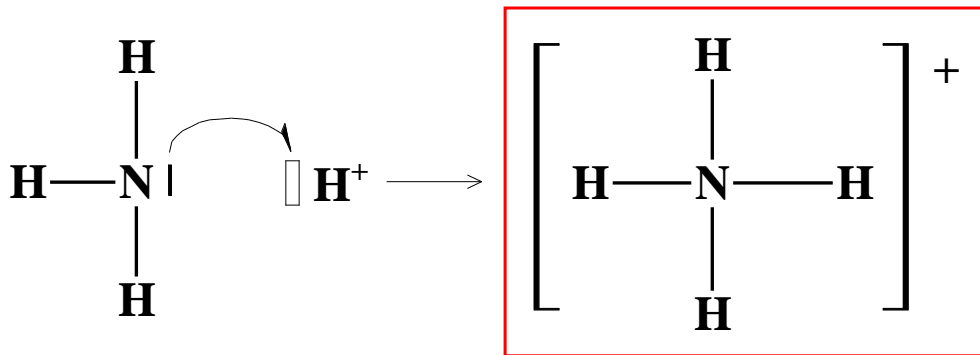
Symbole : Flèche du donneur vers l'accepteur OU tiret avec des charges formelles. L'usage actuel est d'utiliser le symbolisme : $\ominus A - B^{\oplus}$

Exemples : le trifluorure de bore BF_3 et l'ammoniac NH_3 forment un composé d'addition.



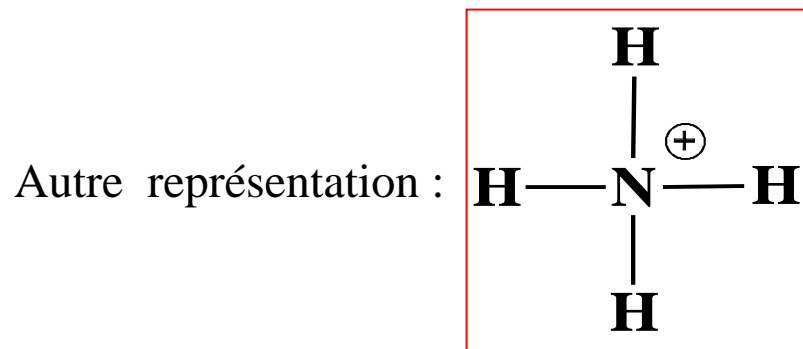
${}_{16}S : \dots / 3s^2 3p^4 \Rightarrow 6$ électrons de valence





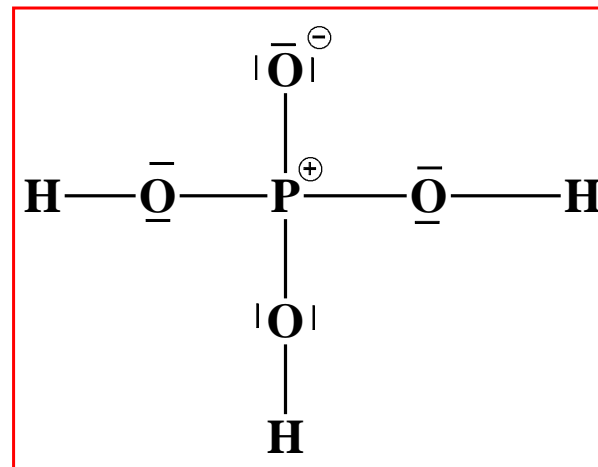
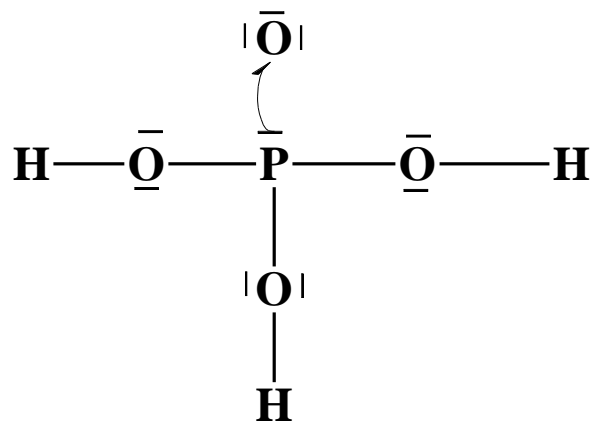
*Pas de flèche dans le schéma
(ou diagramme) de Lewis*

Les quatre liaisons N–H sont identiques



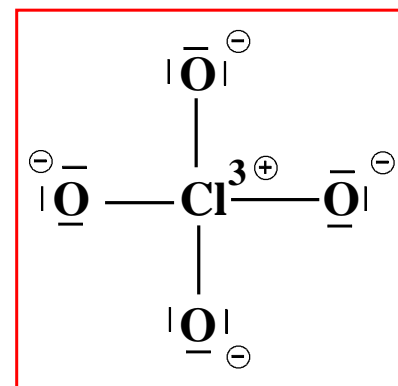
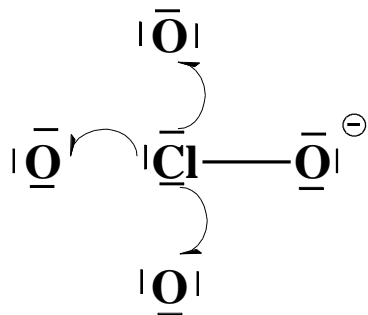
L'azote a en effet fonctionné comme donneur et a perdu un électron.

• H_3PO_4



$_{15}\text{P} : \dots / 3s^2 3p^3 \Rightarrow 5$ électrons de valence

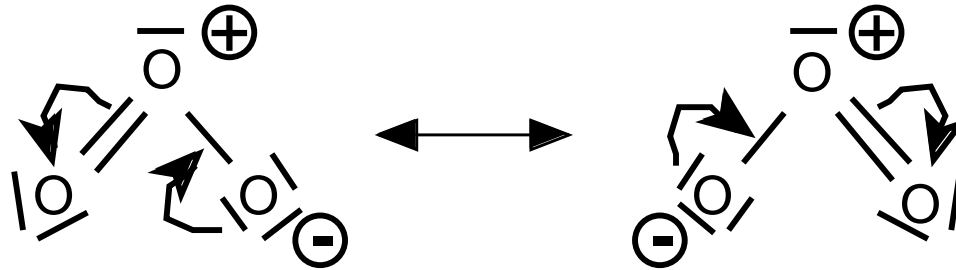
• ClO_4^-



$_{17}\text{Cl} : \dots / 3s^2 3p^5 \Rightarrow 7$ électrons de valence

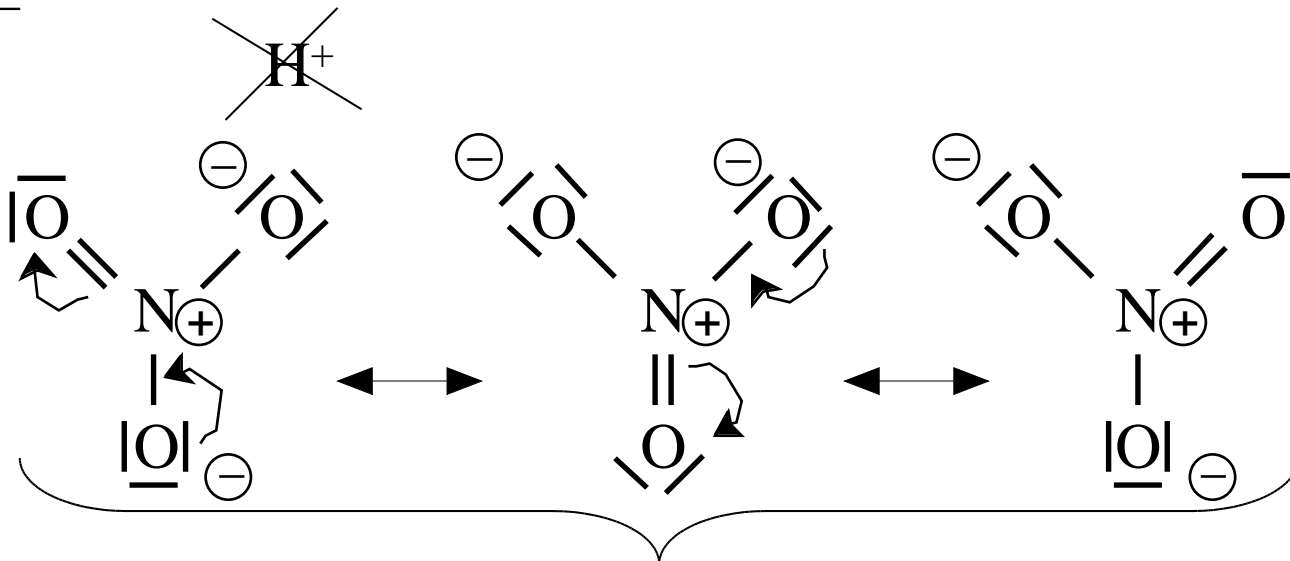
• **Mésomérie**

- **O₃**



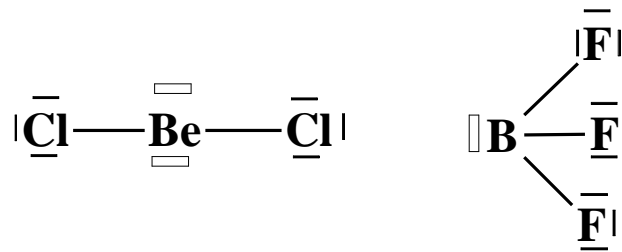
Les liaisons O–O ne sont ni simples, ni doubles \Rightarrow longueur et énergie sont intermédiaires (indice de liaison moyen : $N_l = \frac{1+2}{2} = 1,5$)

- **NO₃⁻**

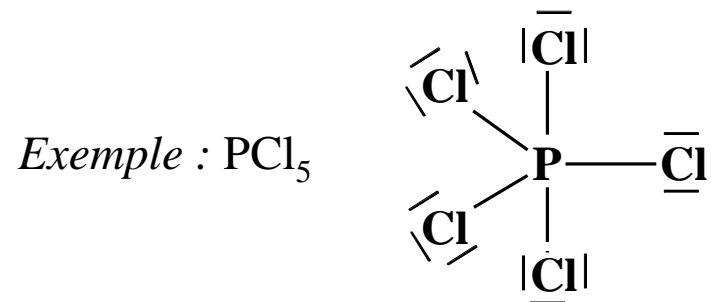


formes mésomères ou limites

- Octet étendu et hypervalence : non respect de la règle de l'octet.
- Pour les éléments de la deuxième période \Rightarrow la règle de l'octet est respectée.
Exceptions : le béryllium Be dans BeCl_2 ou le bore B dans BF_3 .



- Pour les autres éléments de la classification périodique : la règle de l'octet n'est pas toujours respectée : extension de l'octet \Rightarrow Hypervalence.



(10 e⁻ autour de P : hypervalence)

3) Liaison ionique : ΔEN grand > 2 (EN = électronégativité).

Condition : une très forte différence d'électronégativité entre les deux atomes.

Il y a un transfert total d'un ou de plusieurs électrons de l'élément le moins électronégatif vers l'élément le plus électronégatif \Rightarrow formation de deux ions :



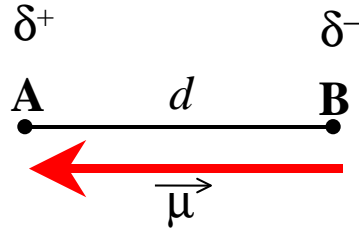
$$\text{EN (Cl)} = 3,1 ; \text{EN (Na)} = 0,9$$

4) Liaison covalente polaire dans un composé A–B.

A et B ont des électronégativités différentes :

⇒ déplacement du nuage électronique vers l'élément le plus électronégatif (*par exemple B*);

⇒ apparition de charges partielles δ^+ sur A et δ^- sur B.



Par convention, le vecteur $\vec{\mu}$ est orienté de la charge **négative vers la charge positive**.

⇒ apparition de moment dipolaire réel : $\|\vec{\mu}\| = | \text{charge} | \cdot \text{distance}$

$$\|\vec{\mu}\| = | e \cdot \delta | \cdot d$$

dans une liaison covalente polaire

Si la liaison est purement IONIQUE : $\Rightarrow \delta = 1 ; [A^+ ; B^-] \Rightarrow \mu_i = | e | \cdot d$ (en C.m)

$$\Rightarrow \mu_{\text{ionique}} \text{ (en C.m)} = \mu_i = 1,6 \cdot 10^{-19} \cdot d_{(\text{m})} = 1,6 \cdot 10^{-19} \cdot d_{(\text{\AA})} \cdot 10^{-10} = 1,6 \cdot 10^{-29} \cdot d_{(\text{\AA})}$$

or $1 \text{ Debye} = \frac{1}{3} \cdot 10^{-29} \text{ C.m} \Rightarrow \mu_i \text{ (en Debye)} = 1,6 \times 3 \cdot d_{(\text{\AA})} = 4,8 \cdot d_{(\text{\AA})}$

- **Détermination du pourcentage de caractère ionique (% i) d'une liaison covalente A-B polaire (A et B sont des éléments monovalents).**

Le pourcentage de caractère ionique (% i) d'une liaison A-B est lié à la valeur de δ :

- si $\delta = 0$: la liaison est covalente à 100 % \Rightarrow (% i) = 100 $\delta = 0$ %
- si $\delta = 1$: la liaison est ionique à 100 % \Rightarrow (% i) = 100 $\delta = 100$ %

Comme : $\mu_{\text{réel}} = |\delta \cdot e| \cdot d$ on en déduit : $\delta = \frac{\mu_{\text{réel}}}{|e| \cdot d} = \frac{\mu_{\text{réel}}}{\mu_i}$

$$(\% \text{ i}) = 100 \delta = \frac{\mu_{\text{réel}}}{\mu_i} \times 100$$

$$\text{avec : } \mu_{\text{réel}} = \frac{(\% \text{ i})}{100} \cdot \mu_i$$

Exemple : H-F

$$\mu_{\text{réel}} = 1,98 \text{ D} = 6,60 \cdot 10^{-30} \text{ C.m}$$

$$\mu_i = 1,6 \cdot 10^{-19} \cdot d_{(\text{m})} = 14,72 \cdot 10^{-30} \text{ C.m}$$

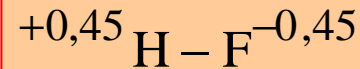
$$d = 0,92 \text{ \AA} = 0,92 \cdot 10^{-10} \text{ m}$$

$$\mu_i = 4,8 \cdot d_{(\text{\AA})} = 4,42 \text{ D}$$

$$(\% \text{ i}) = \frac{\mu_{\text{réel}}}{\mu_i} \times 100 = \frac{1,98}{4,42} \times 100 = 45 \%$$

$$\delta = 0,45$$

\Rightarrow



1.4. Limites et insuffisances du modèle de Lewis.

Le modèle de Lewis :

- **permet d'interpréter d'une façon satisfaisante les mécanismes fondamentaux de formation et de rupture des liaisons.**
- **n'explique pas les propriétés magnétiques des molécules ou des ions moléculaires.**
- **n'apporte pas d'éléments sur l'orientation géométrique des liaisons, la différence de comportement entre les liaisons σ et les liaisons π .**

2. Géométrie des édifices covalents. Règles de GILLESPIE.

Ce n'est pas une nouvelle théorie de la liaison, mais un procédé de raisonnement (simple et efficace) qui permet de prévoir de **façon qualitative** la géométrie des petites molécules covalentes. Ce modèle est basé sur **la répulsion des paires électroniques de la couche de valence**.

V. S. E. P. R.
(**V**alence **S**hell **E**lectron **P**air **R**epulsion)



A : atome central

X : atome lié à A

m : nombre d'atomes X liés à A

E : doublet libre autour de A

n : nombre de doublets libres autour de A

Règles de Gillespie

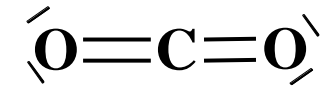
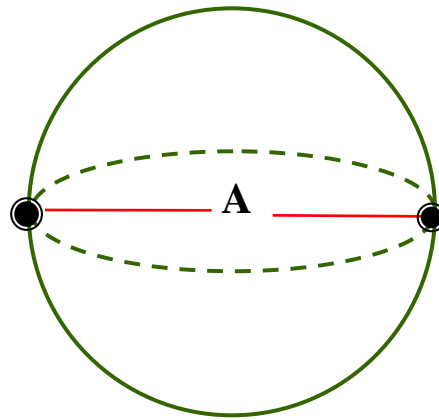
- 1) Tous les doublets (liants et libres) de la couche de valence de l'atome central A sont placés à la surface d'une sphère centrée sur le noyau.
- 2) Les doublets d'électrons se positionnent de telle sorte que les répulsions électroniques soient minimales (les doublets sont situés aussi loin que possible les uns des autres).



$m + n$	Géométries de base
2	linéaire
3	triangulaire plane
4	tétraédrique
5	bipyramide trigonale
6	octaédrique



Géométrie de base linéaire



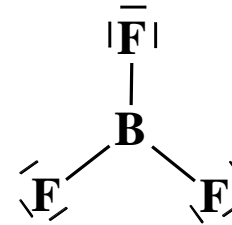
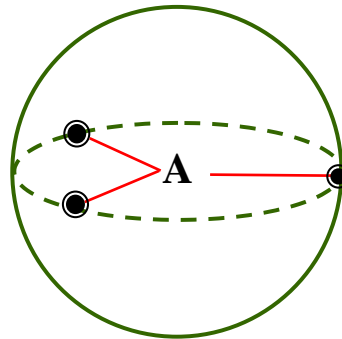
La géométrie adoptée est celle qui éloigne au maximum les deux doublets

$$\Rightarrow \alpha = 180^\circ$$

Molécule linéaire

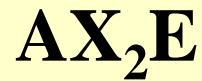


Géométrie de base triangulaire plane

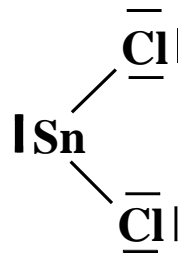
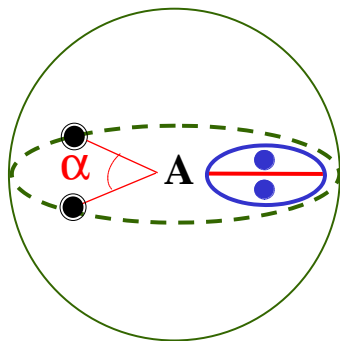


$\alpha = 120^\circ$
Molécule triangulaire plane

Exemple : **BF₃**



$\alpha < 120^\circ$



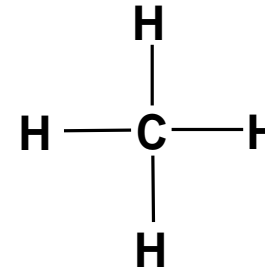
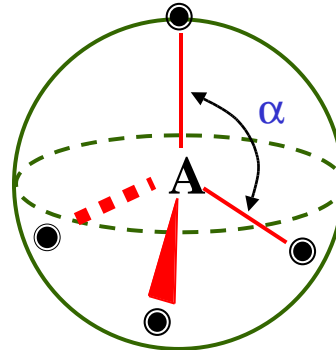
Molécule coudée ou angulaire

Exemple : **SnCl₂**

Un doublet libre E occupe un volume supérieur à celui d'un doublet liant au voisinage de l'atome central $\Rightarrow \alpha \searrow$; $\alpha < 120^\circ$

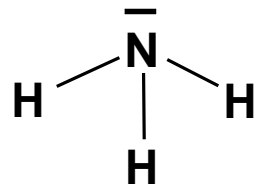
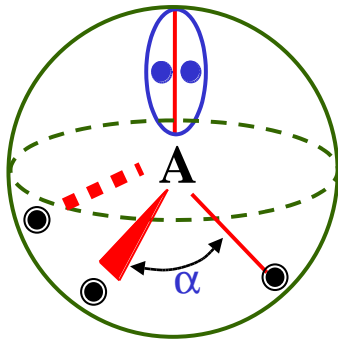
Géométrie de base tétraédrique

AX₄



Exemple : **CH₄**
 $\alpha = 109^{\circ}28'$

AX₃E

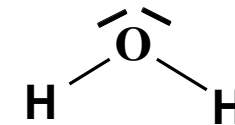
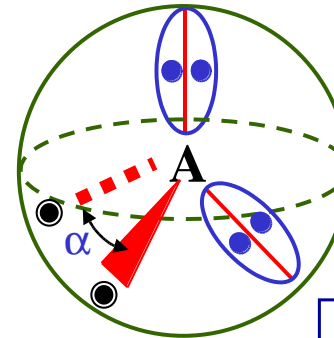


**Pyramide
trigonale**

$\alpha < 109^{\circ}28'$

Exemple : **NH₃**
 $\alpha = 107^{\circ}$

AX₂E₂

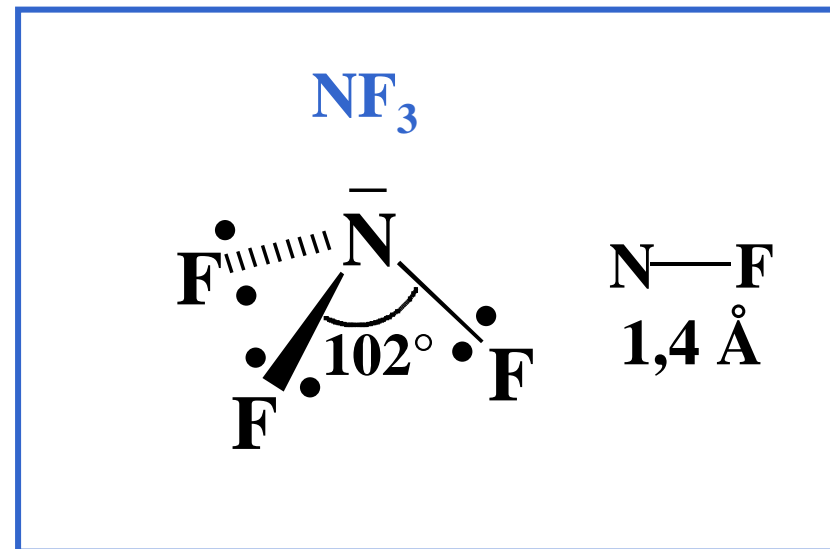
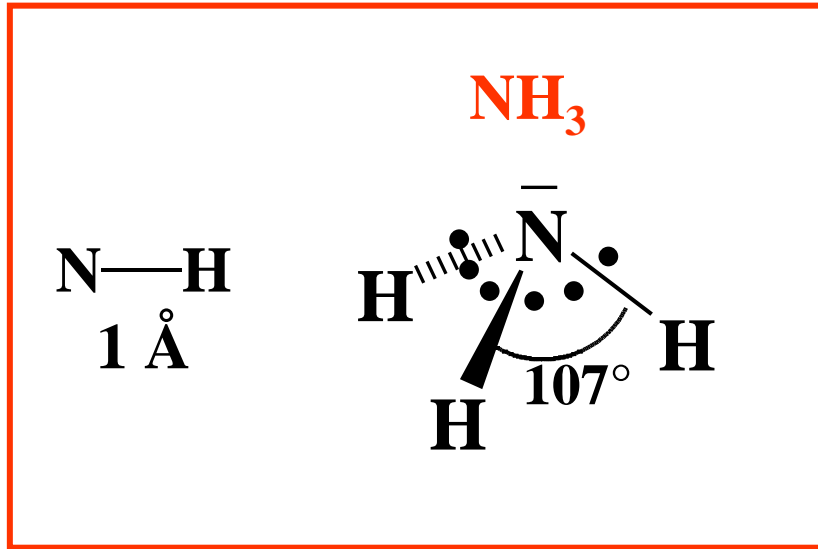


**Molécule
coudée en forme de V
ou angulaire**

$\alpha \ll 109^{\circ}28'$

Exemple : **H₂O**
 $\alpha = 104^{\circ}$

AX₃E



$$\alpha_{\text{NH}_3} > \alpha_{\text{NF}_3}$$

$\text{EN}(\text{F}) > \text{EN}(\text{H}) \Rightarrow$ les doublets liants dans NH_3 sont localisés au voisinage de N
 \Rightarrow répulsion entre les doublets liants $\nearrow \Rightarrow \alpha \nearrow$

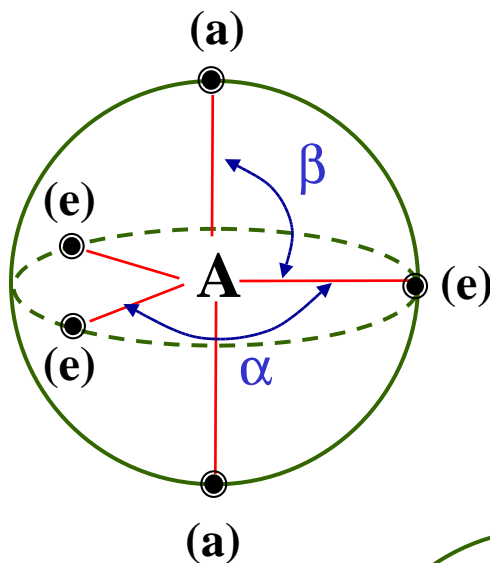
AX₅

$\alpha = 120^\circ$

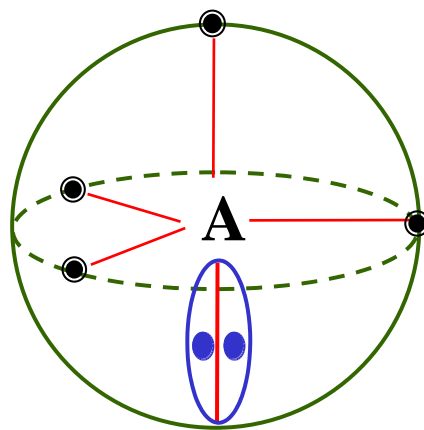
$\beta = 90^\circ$

PF₅

(a) : axial
(e) : équatorial

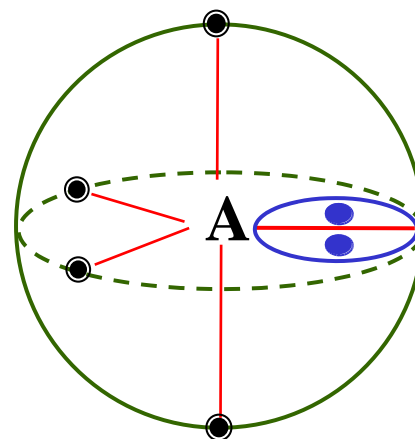


Géométrie de base :
Bipyramide trigonale

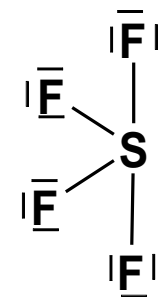


AX₄E

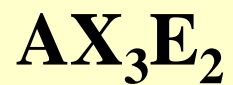
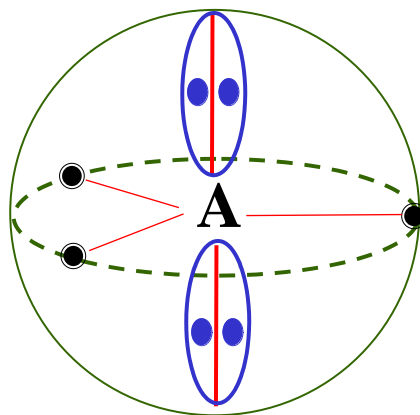
Exemple : **SF₄**



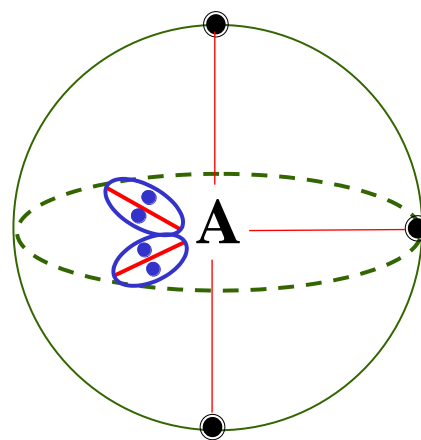
énergétiquement
plus favorable



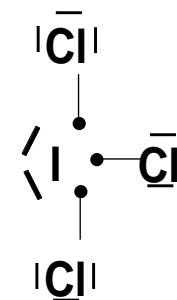
Forme SF₄



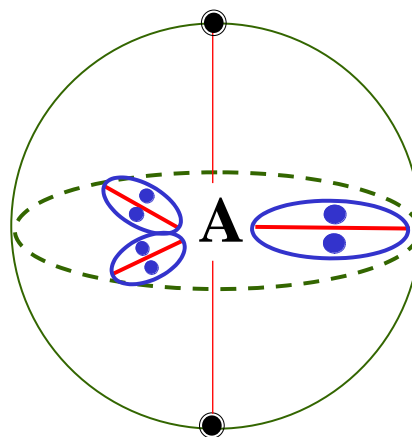
Exemple : ICl₃



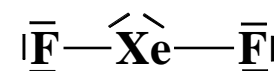
énergétiquement plus favorable



Forme en T



Exemple : XeF₂

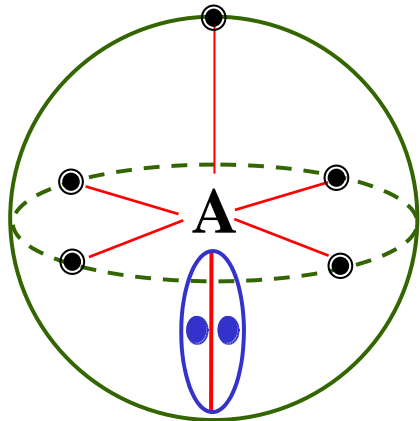


Molécule linéaire

AX₆

Géométrie de base octaédrique (ex : SF₆)

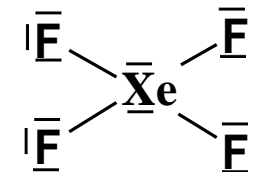
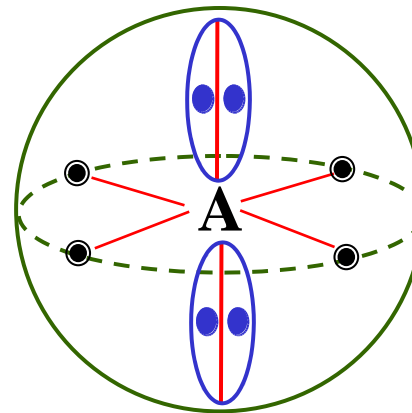
AX₅E



Pyramide à base carrée

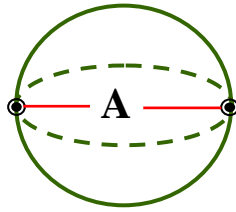
Exemple : BrF₅

AX₄E₂

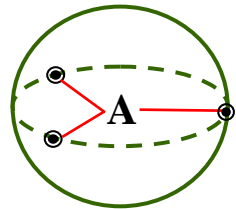


Molécule plane carrée

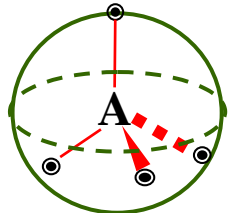
Exemple : XeF₄



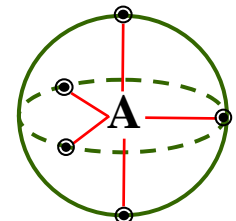
2 doublets AX_2
 linéaire : $\alpha = 180^\circ$



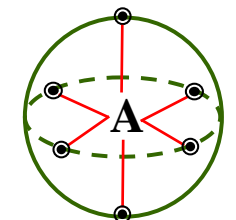
3 doublets AX_3
 triangle plan : $\alpha = 120^\circ$, mais aussi AX_2E_1
 $\Rightarrow \alpha < 120^\circ$



4 doublets AX_4
 tétraèdre : $\alpha = 109^\circ 28'$, mais aussi AX_3E_1 et
 $AX_2E_2 \Rightarrow \alpha < 109^\circ 28'$



5 doublets AX_5
 $\alpha = 120^\circ$, $\beta = 90^\circ$
 bipyramide à base triangulaire, mais aussi :
 AX_4E_1 , AX_3E_2 et AX_2E_3



6 doublets AX_6
 octaèdre : $\alpha = 90^\circ$,
 mais aussi : AX_5E_1 , AX_4E_2 , AX_3E_3 et
 AX_2E_4

3. Théorie des orbitales moléculaires.

Méthode : C.L.O.A. : Combinaison Linéaire des Orbitales Atomiques.

3.1. Règles générales.

Diagramme d'énergie des orbitales moléculaires.

La répartition des électrons de la molécule dans les orbitales moléculaires suit les règles données pour les orbitales atomiques :

- remplissage prioritaire des niveaux d'énergie les plus bas (remplissage par énergie croissante);
- sur un même niveau : remplissage du plus grand nombre possible d'orbitales avec des spins parallèles (Règle de Hund).

1) Les orbitales moléculaires sont obtenues par **combinaison linéaire d'orbitales atomiques** :

- d'énergies voisines ($\Delta E < 12 \text{ eV}$)
- de symétries compatibles (**recouvrement non nul**)

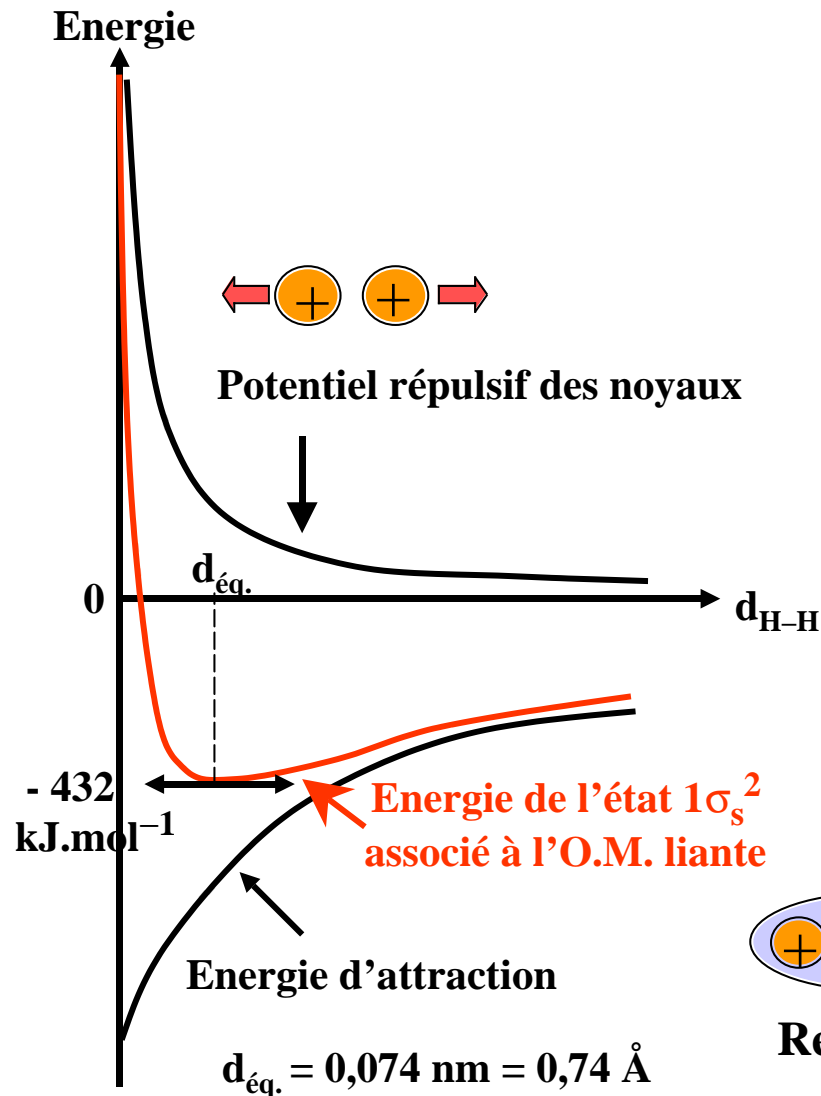
2) Le nombre des orbitales moléculaires (O.M.) est égal au nombre des orbitales atomiques (O.A.) utilisées dans la combinaison linéaire.

3) Types d' O.M. :
O.M. liantes
O.M. antiliantes
O.M. non liantes

4) Le nombre des électrons dans les O.M. est égal au nombre des électrons dans les O.A.

3.2. Cas de la molécule du dihydrogène H₂.

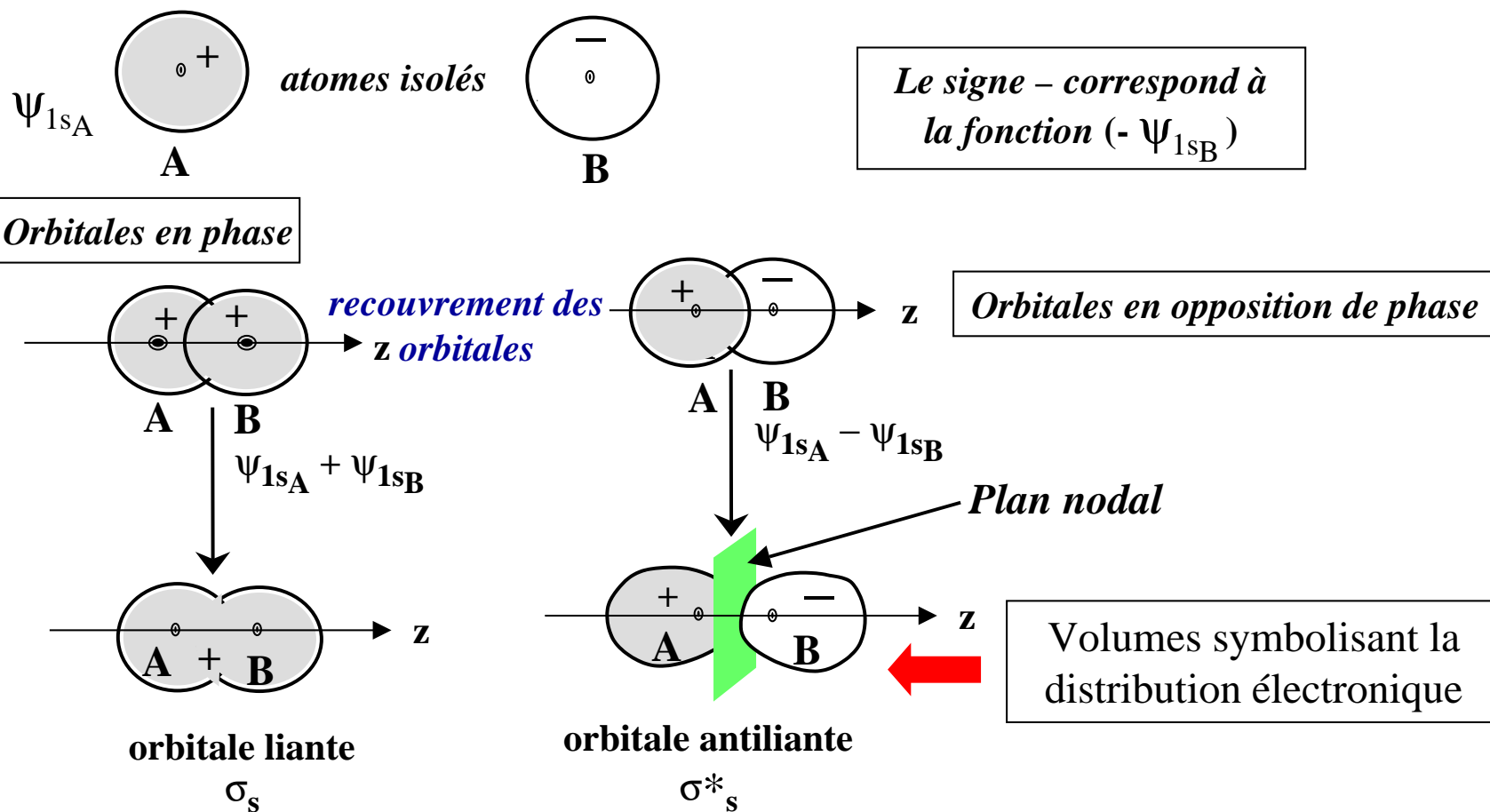
3.2.1. Variation de l'énergie en fonction de la distance H–H.



- L'énergie potentielle du système formé par les deux atomes varie en fonction de leur distance.
- Elle est minimale pour la distance d'équilibre $d_{\text{eq.}}$.
- Pour écarter ou rapprocher les deux atomes à partir de leur distance d'équilibre, il faut fournir un travail. Ce travail augmente l'énergie potentielle du système.

3.2.2. Combinaison des orbitales 1s dans H₂.

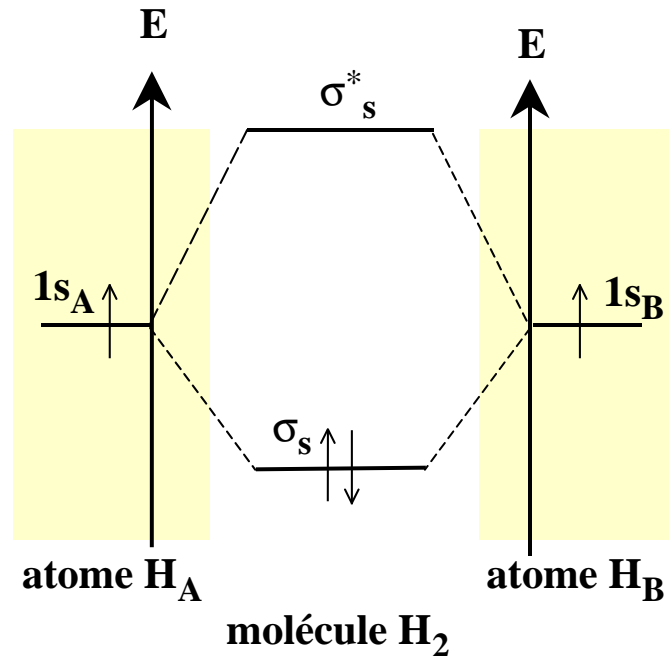
L'orbitale s est de symétrie sphérique car sa valeur en un point ne dépend que de la distance de ce point au noyau.



$1s(H_A) + 1s(H_B) \rightarrow \sigma_s$: recouvrement axial (σ) LIANT (fusion des lobes)

$1s(H_A) - 1s(H_B) \rightarrow \sigma_s^*$: recouvrement axial (σ^*) ANTILANT (pas de fusion des lobes)

3.2.3. Diagramme des orbitales moléculaires de H₂.



σ_s : orbitale moléculaire liante
σ_s^{*} : orbitale moléculaire antiliante

- Configuration électronique de H₂ : σ_s², σ_s^{*0}
- Indice de liaison N_l
N_l = 1/2 (nb e⁻ OM liantes – nb e⁻ OM antiliantes)
N_l = 1/2 (n – n*) = 1/2 (2 – 0) = 1

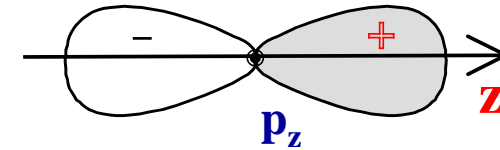
Diagramme d'énergie des O.M.

- 2 O.A. ⇒ 2 O.M.
- Nombre des e⁻ dans les O.M. = nombre des e⁻ dans les O.A. = 2
- Les règles de Klechkowski, Hund et Pauli s'appliquent.

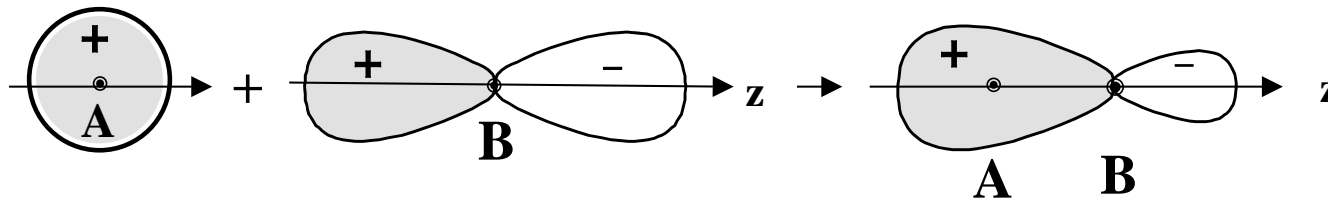
3.3. Combinaison des orbitales s et p .

3.3.1. Recouvrement axial d'une orbitale s d'un atome A et d'une orbitale p_z d'un atome B.

(par convention : l'axe internucléaire est l'axe z)

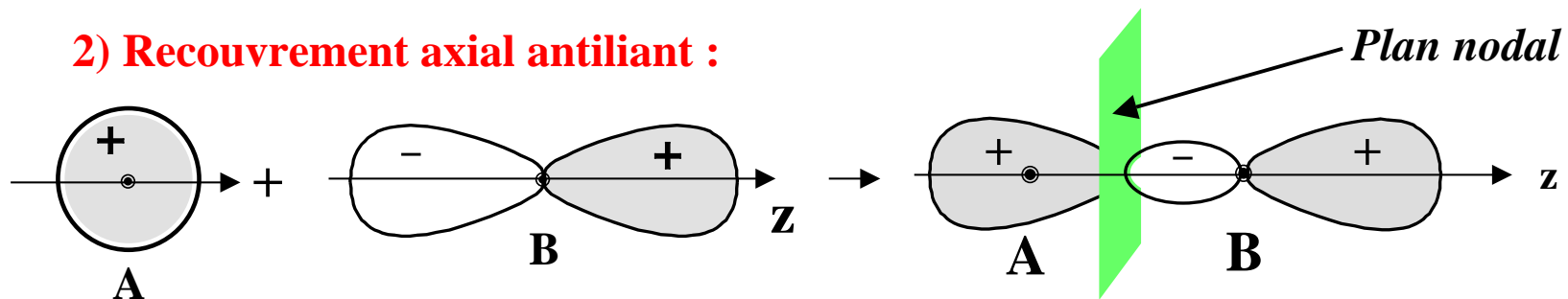


1) Recouvrement axial liant :



$s_{(A)} - p_{z(B)} \rightarrow \sigma_{sp}$: recouvrement liant (fusion des 2 lobes)

2) Recouvrement axial antiliant :

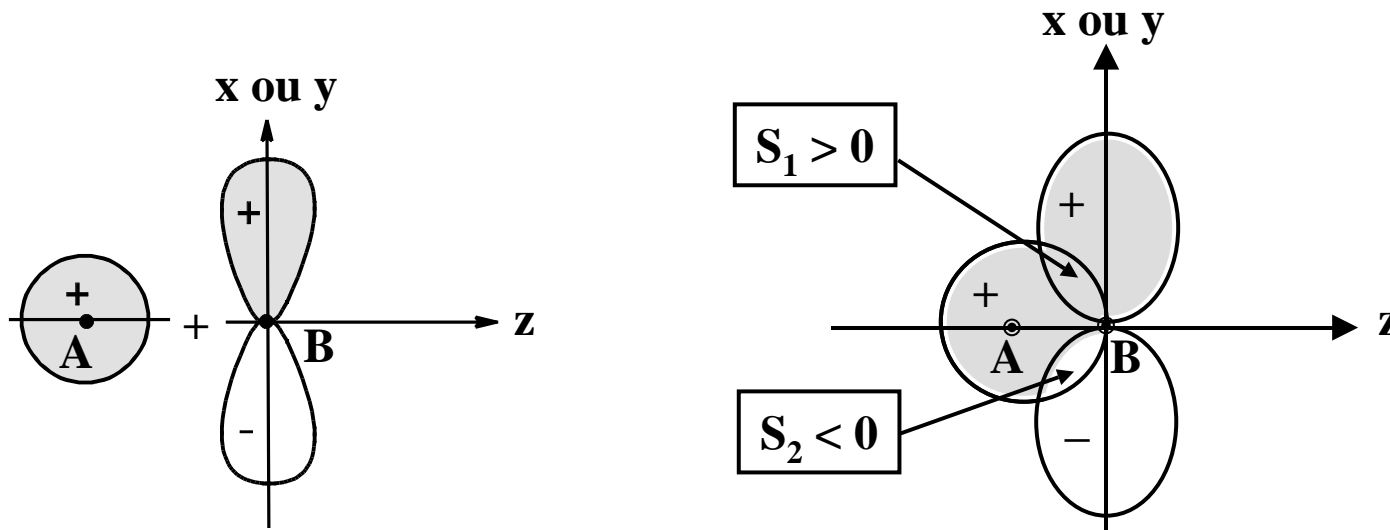


$s_{(A)} + p_{z(B)} \rightarrow \sigma^*_{sp}$: recouvrement antiliant

3.3.2. Recouvrement entre une orbitale s et une orbitale p_x ou p_y .

$s(\text{A}) + p_{x,y}(\text{B}) \rightarrow$ rien (pas de recouvrement)

(les symétries des O.A. ne sont pas compatibles)



**L'intégrale de recouvrement : $S = S_1 + S_2 = 0$
 \Rightarrow recouvrement NUL (non liant)**

3.3.3. Application : cas du fluorure d'hydrogène HF.

1) Données : $E_{1s}(\text{H}) = -13,6 \text{ eV}$; $E_{2s}(\text{F}) = -43 \text{ eV}$; $E_{2p}(\text{F}) = -20 \text{ eV}$

2) Combinaisons linéaires des O.A. :

- pas de combinaison linéaire entre $1s(\text{H})$ et $2s(\text{F})$, car $\Delta E > 12 \text{ eV}$
- pas de combinaison entre $1s(\text{H})$ et $2p_x$ ou $2p_y$ (F), car le recouvrement est nul ($S = 0$)
- combinaison linéaire entre $1s(\text{H})$ et $2p_z(\text{F})$
 - $\Delta E = 6,4 \text{ eV}$
 - recouvrement axial non nul (recouvrement possible)

3) Le nombre des O.M. = le nombre des O.A. = 2

$1s(\text{H}) + 2p_z(\text{F}) \rightarrow \sigma_{sp}^*$: recouvrement antiliant

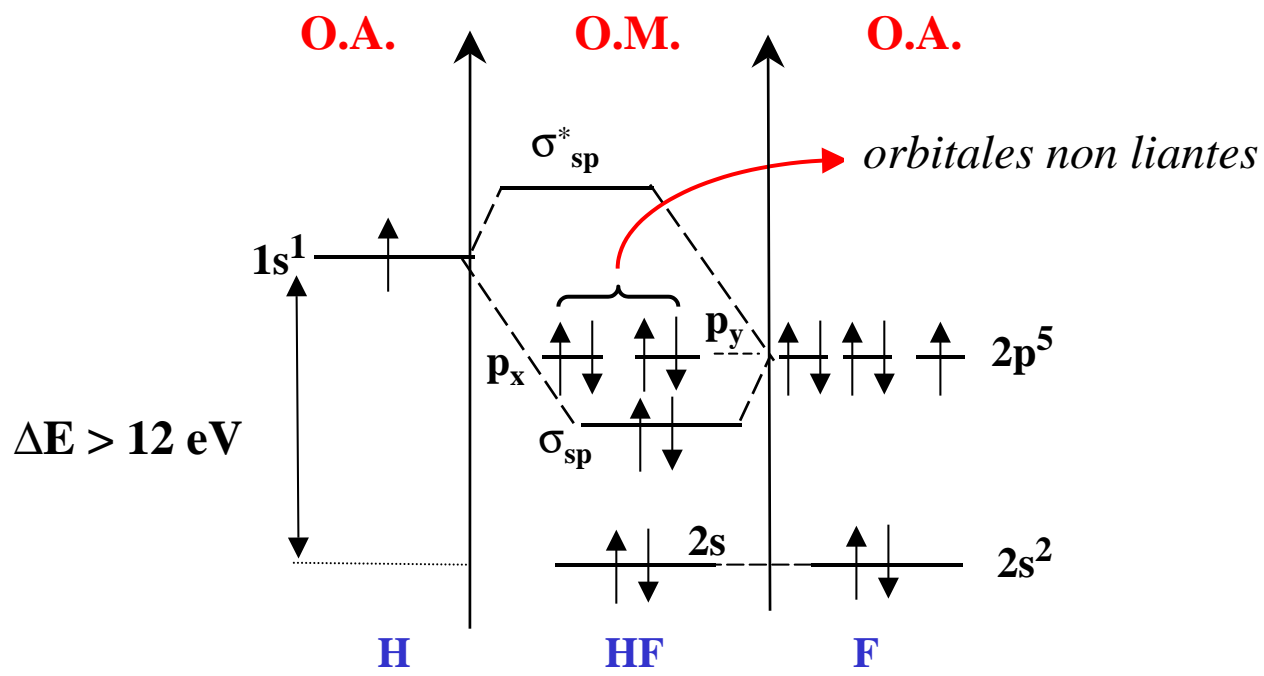
$1s(\text{H}) - 2p_z(\text{F}) \rightarrow \sigma_{sp}$: recouvrement liant

4) Forme des O.M. σ_{sp} et σ_{sp}^* (voir 3.3.1.)

5) Diagramme d'énergie des O.M. de HF.

Données en eV :
 $E_{1s}(\text{H}) = -13,6$; $E_{2s}(\text{F}) = -43$; $E_{2p}(\text{F}) = -20$

⇒ **Pas de combinaison linéaire entre 1s(H) et 2s(F), car $\Delta E > 12 \text{ eV}$**



Configuration électronique : ... / $2s^2, \sigma_{sp}^2, (p_x^2, p_y^2), \sigma_{sp}^{*0}$

Indice de liaison $N_l = \frac{2-0}{2} = 1$

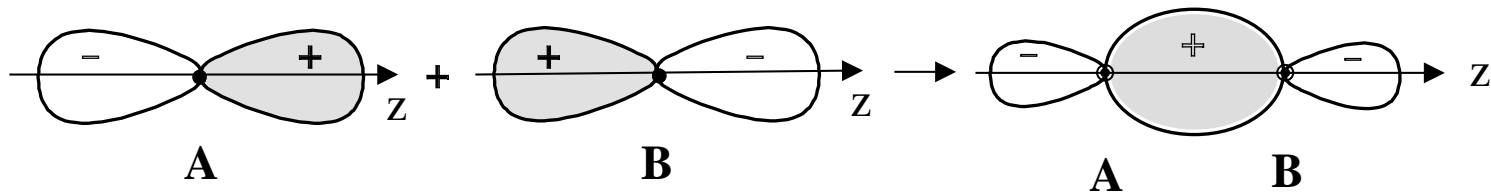
La liaison H-F est polarisée : les électrons liants sont plus proches de F que de H ⇒ liaison covalente polaire.

$\begin{matrix} +\delta & -\delta \\ \text{H} - \text{F} & \delta = 0,45 \end{matrix}$

3.4. Combinaison des orbitales p_x , p_y , p_z .

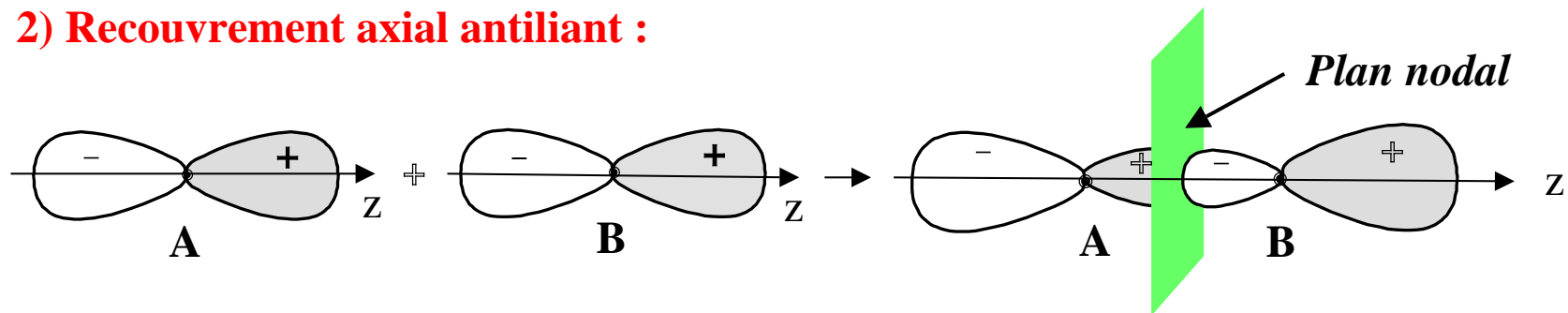
3.4.1. Recouvrement axial de deux orbitales p_z appartenant à 2 atomes A et B.

1) Recouvrement axial liant :



$p_z(\text{A}) - p_z(\text{B}) \rightarrow \sigma_z$: recouvrement axial LIANT (fusion de 2 lobes)

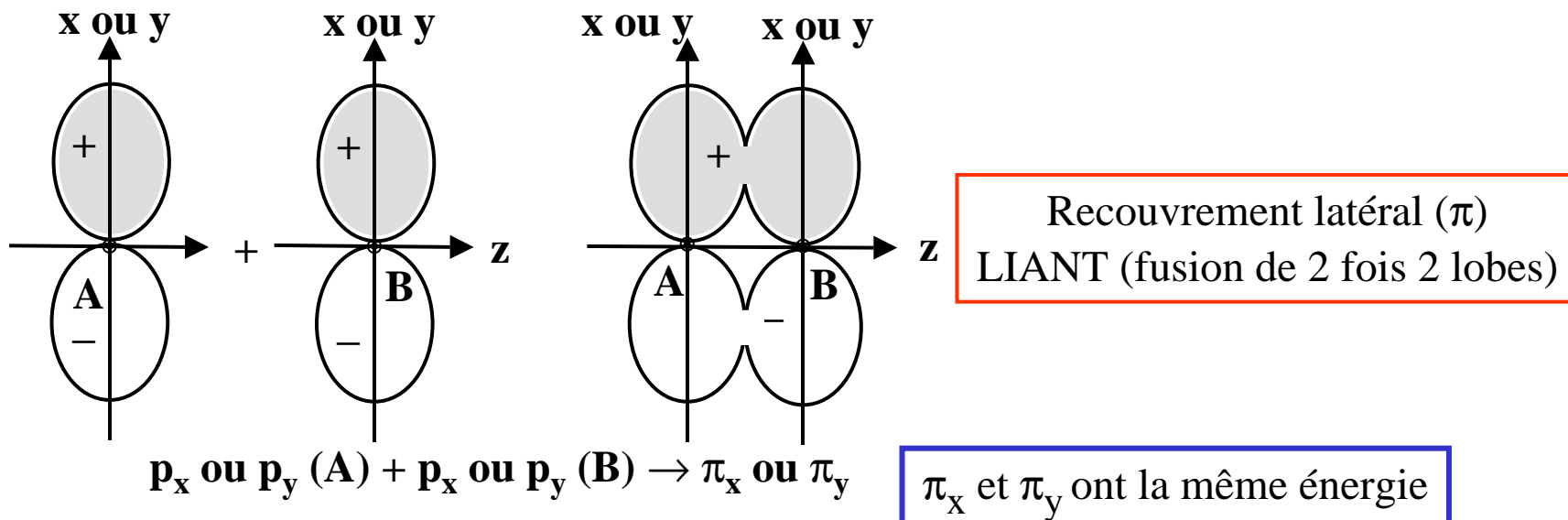
2) Recouvrement axial antiliant :



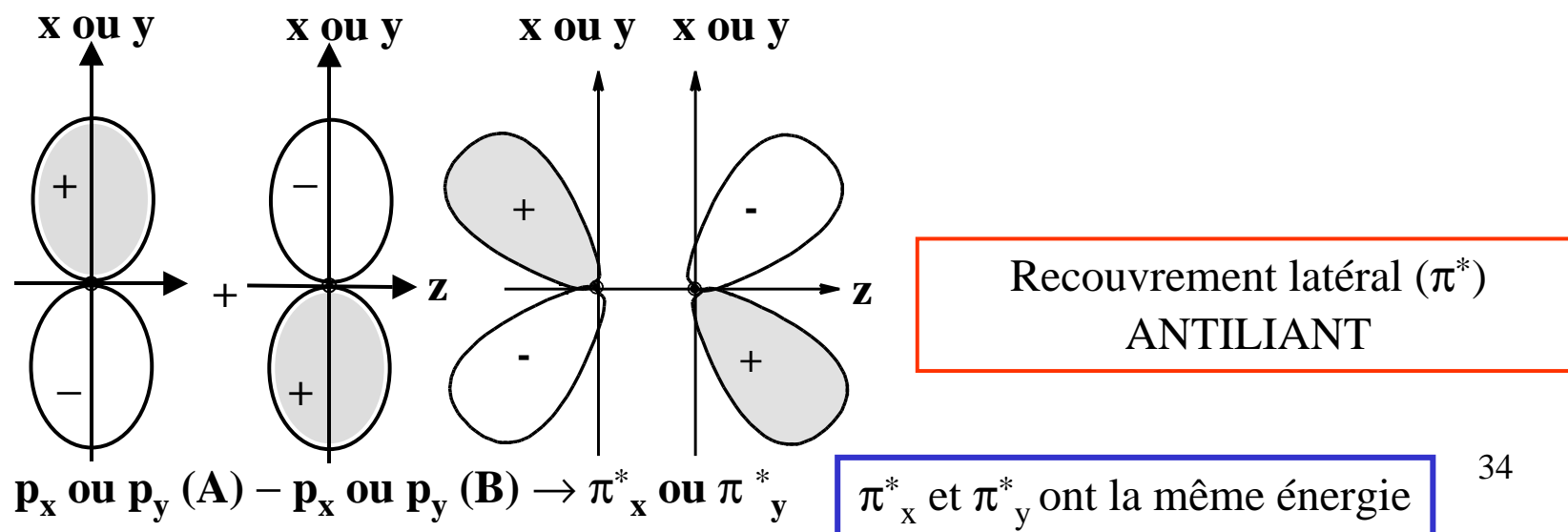
$p_z(\text{A}) + p_z(\text{B}) \rightarrow \sigma_z^*$: recouvrement axial ANTILIAN (pas de fusion de lobes)

3.4.2. Recouvrement latéral de deux orbitales p_x ou p_y appartenant à 2 atomes A et B.

1) Recouvrement latéral liant entre 2 orbitales parallèles.



2) Recouvrement latéral antiliant entre 2 orbitales parallèles.



3.5. Applications.

3.5.1. Dioxygène : O₂

1) On s'intéresse uniquement aux O.A. de valence des deux atomes O_A et O_B (ici 2s et 2p).

2) Données : E_{2s}(O) = - 34 eV ; E_{2p}(O) = - 17 eV (voir tableau en fin de paragraphe 3)

3) Pas de combinaison linéaire entre 2s(O_A) et 2p_z(O_B), car ΔE > 12 eV

4) Le nombre des O.M. = le nombre des O.A. = 8

- 2s(O_A) ± 2s(O_B) → σ_s et σ*_s

- 2p_x(O_A) ± 2p_x(O_B) → π_x et π*_x

- 2p_y(O_A) ± 2p_y(O_B) → π_y et π*_y

- 2p_z(O_A) ± 2p_z(O_B) → σ_z et σ*_z

5) Forme des orbitales moléculaires :

σ_s et σ*_s ⇒ comme dans H₂ (voir 3.2.2.)

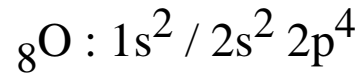
(π_x et π_y) et (π*_x et π*_y) ⇒ Recouvrement latéral liant et antiliant (voir 3.4.2.)

σ_z et σ*_z ⇒ Recouvrement axial liant et antiliant (voir 3.4.1.)

6) Ordre énergétique :

$$\sigma_s < \sigma_s^* < \sigma_z < \pi_x = \pi_y < \pi_x^* = \pi_y^* < \sigma_z^*$$

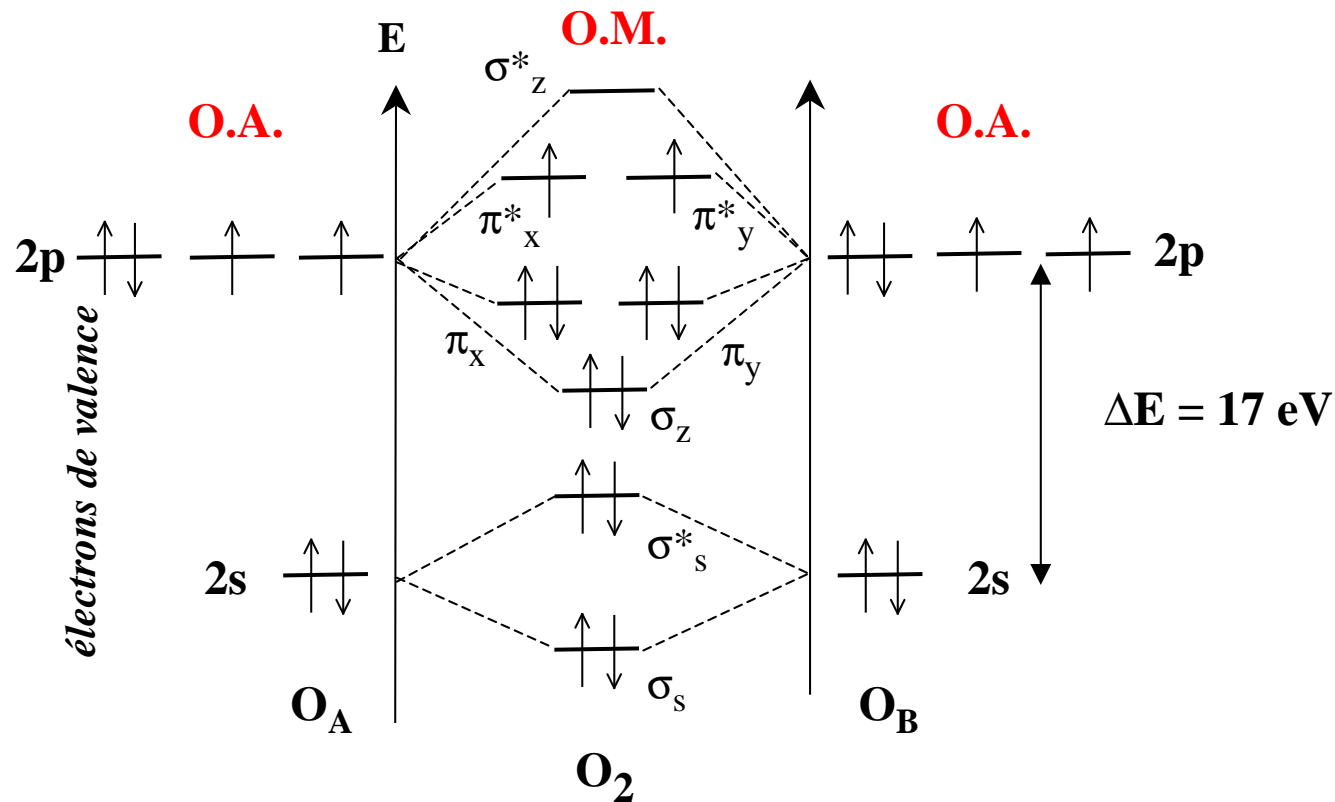
7) Diagramme d'énergie des O.M. de O₂ : **Cas $\Delta E_{(2s/2p)} > 12 \text{ eV}$**



$\Delta E_{(2s/2p)} > 12 \text{ eV}$: pas de recouvrement entre 2s et 2p_z

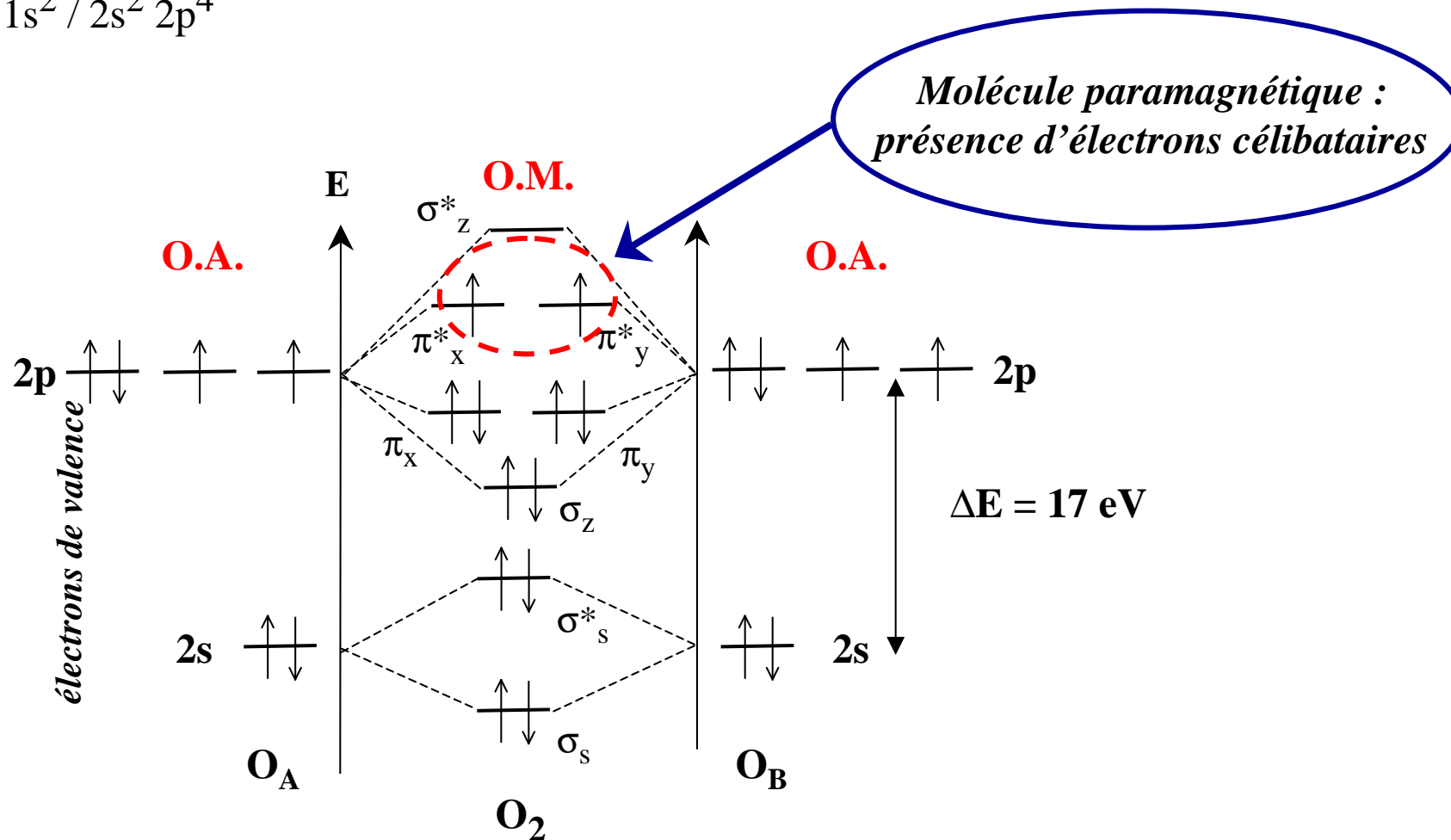
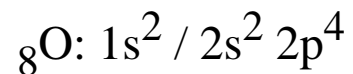


$E(\sigma_z) < E(\pi_x, \pi_y)$



Configuration électronique de la molécule O₂ :
 $\sigma_s^2, \sigma_s^{*2}, \sigma_z^2, (\pi_x^2, \pi_y^2), (\pi_x^{*1}, \pi_y^{*1}), \sigma_z^{*0}$

Exemple : O_2



*Molécule paramagnétique :
présence d'électrons célibataires*

Configuration électronique de la molécule O_2 :
 $\sigma_s^2, \sigma_s^{*2}, \sigma_z^2, (\pi_x^2, \pi_y^2), (\pi_x^{*1}, \pi_y^{*1}), \sigma_z^{*0}$

Indice (ou ordre) de liaison :

$$N_l = \frac{(\text{nb électrons O.M. liantes} - \text{nb électrons O.M. antiliantes})}{2}$$

Dans O_2 l'indice de liaison est : $N_l = \frac{8 - 4}{2} = 2$

Lorsque l'indice de liaison N_l augmente :

⇒ 1 - l'énergie de dissociation E_{diss} de la liaison augmente

⇒ 2 - la distance interatomique (longueur de liaison) diminue

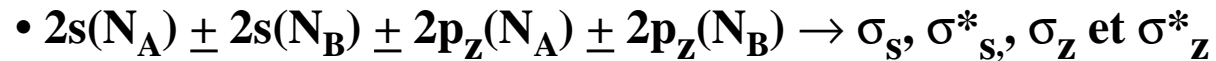
Molécule	N_l	E_{diss} (kJ.mol ⁻¹)	Longueur de liaison (Å)
F ₂	1	153	1,41
O ₂	2	494	1,21
O ₂ ⁺	2,5	652	1,12
N ₂ ⁺	2,5	853	1,12
N ₂	3	945	1,10

3.5.2. Diazote : N_2

1) On s'intéresse uniquement aux O.A. de valence ($2s$, $2p_x$, $2p_y$, $2p_z$) de 2 atomes d'azote.

2) Données : $E_{2s}(N) = -26 \text{ eV}$; $E_{2p}(N) = -15 \text{ eV}$. Comme la différence d'énergie ΔE entre E_{2s} et E_{2p_z} est inférieure à 12 eV , **on doit aussi envisager les C.L.O.A. entre les orbitales $2s$ et $2p_z$.**

3) Le nombre des O.M. = le nombre des O.A. = 8



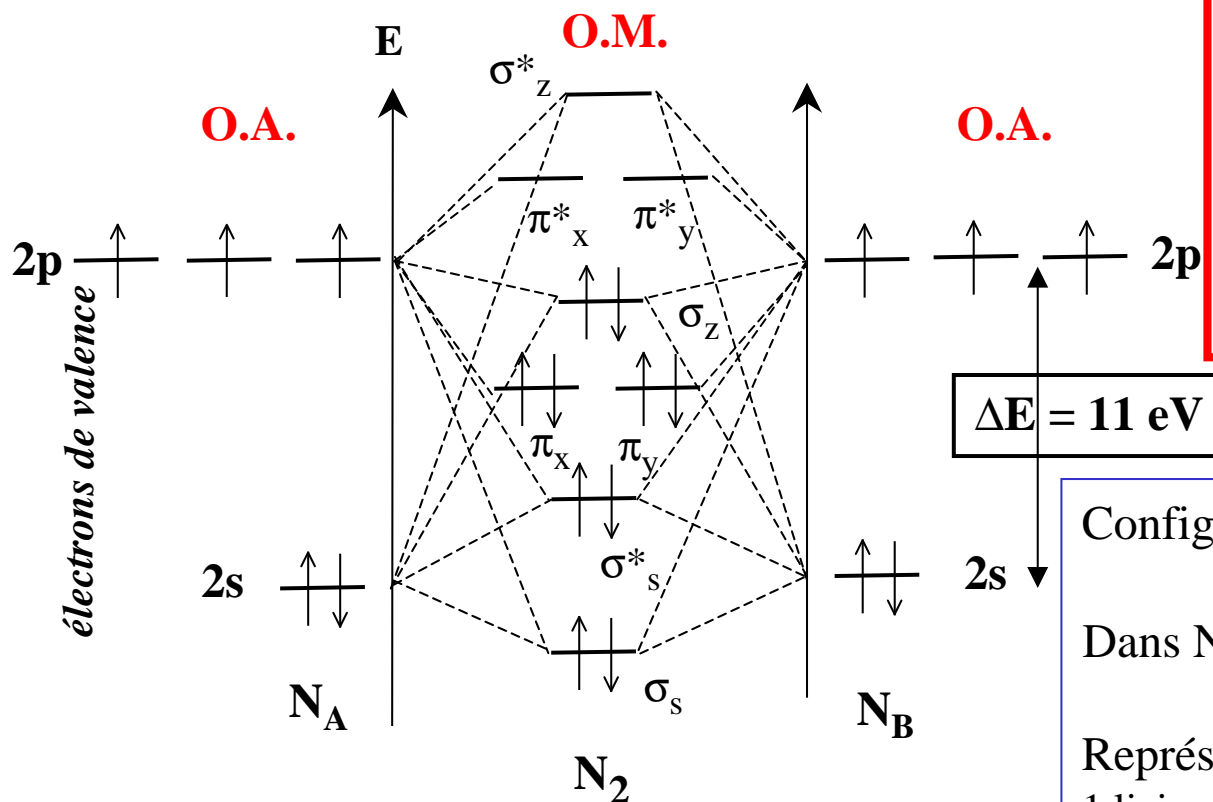
4) L'expérience montre que l'énergie des O.M. suit l'ordre :

$$\sigma_s < \sigma_s^* < \pi_x = \pi_y < \sigma_z < \pi_x^* = \pi_y^* < \sigma_z^*$$

5) Diagramme d'énergie des O.M. de N₂.

Azote : Z = 7 : 1s² / 2s² 2p³

Données :
 $E_{2s}(N) = - 26 \text{ eV}$; $E_{2p}(N) = - 15 \text{ eV}$



$\Delta E_{(2p/2s)} = 11 \text{ eV}$
 ↓
 recouvrement entre 2s et 2p_z
 ↓
 $E(\pi_x, \pi_y) < E(\sigma_z)$

$\Delta E = 11 \text{ eV}$

Configuration : $\sigma_s^2, \sigma_s^{*2}, (\pi_x^2, \pi_y^2), \sigma_z^2$
 Dans N₂ : indice de liaison : $N_l = \frac{8-2}{2} = 3$
 Représentation de Lewis : $|\text{N} \equiv \text{N}|$
 1 liaison σ_z axiale, 2 liaisons π latérales

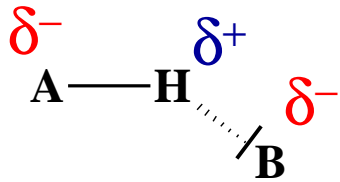
Les 4 orbitales de type σ proviennent des combinaisons linéaires des 4 orbitales atomiques $2s(N_A), 2s(N_B), 2p_z(N_A)$ et $2p_z(N_B)$

Energie (eV)
des orbitales atomiques de valence
de quelques éléments

	2s	2p	3s	3p
N	- 26	- 15	-	-
O	- 34	- 17	-	-
F	- 43	- 20	-	-
P	-	-	- 19	- 11
S	-	-	- 24	- 12
Cl	-	-	- 29	- 14

4. Interactions faibles.

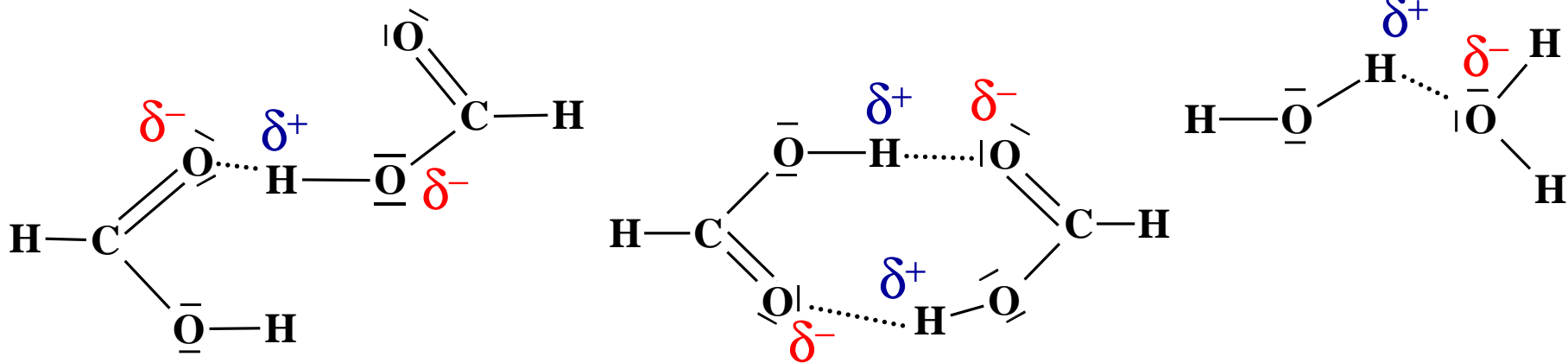
4.1. Liaison Hydrogène : $E \sim 10 \text{ à } 30 \text{ kJ.mol}^{-1}$



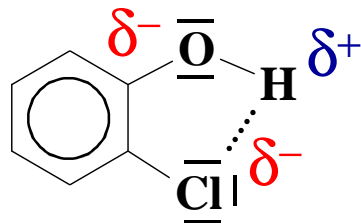
A : élément plus électronégatif que H

B : élément électronégatif avec un doublet libre
(halogènes ; O ; N ; etc...)

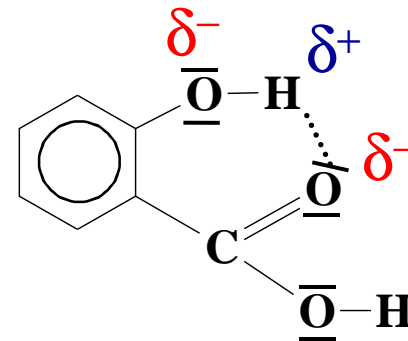
• Liaisons Hydrogène **inter**moléculaires :



• Liaisons Hydrogène **intra**moléculaires :



orthochlorophénol

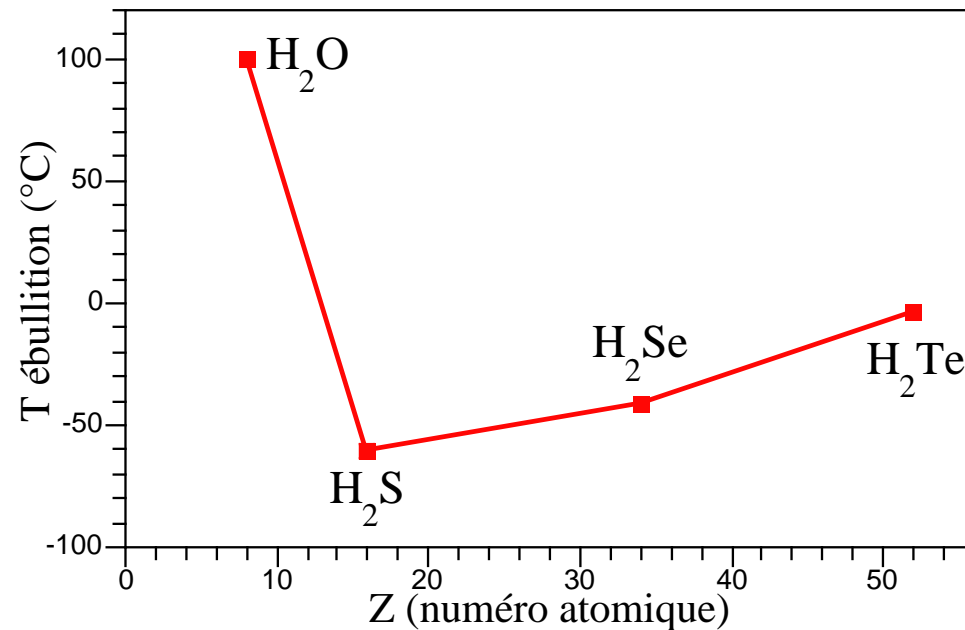


acide orthohydroxybenzoïque

Influence de la liaison Hydrogène sur les propriétés physico-chimiques :

- Augmentation de la température d'ébullition

	H ₂ O	H ₂ S	H ₂ Se	H ₂ Te
T° d'ébullition (°C)	100	- 61	- 41	- 4



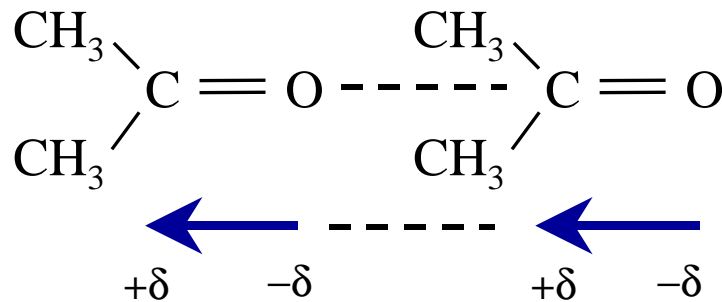
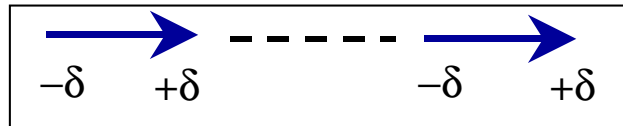
- Augmentation de la viscosité

4.2. Interactions de Van der Waals : $E \sim 0$ à 20 kJ.mol^{-1} .

Trois types :

a) Interactions de Keesom (entre dipôles permanents).

- Entre deux molécules ayant un moment dipolaire permanent.



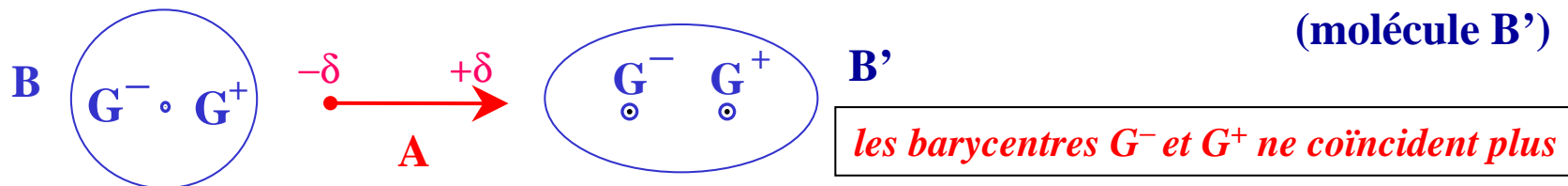
T° ébullition acétone = 56°C

T° C_4H_{10} (butane) = $-0,5^\circ\text{C}$

(le butane et la propanone ont des masses molaires voisines)

b) Interactions de Debye (entre un dipôle permanent et un dipôle induit).

- Entre une molécule A qui a un moment dipolaire et une autre B, qui n'en a pas.
- La molécule B sera déformée par A \Rightarrow apparition d'un moment dipolaire induit (molécule B')



c) Interactions de London (entre un dipôle instantané et un dipôle induit).

- Ces interactions sont aussi appelées énergie de dispersion.
- Elles interviennent dans toutes les espèces polaires ou apolaires.
- Dans les espèces apolaires, bien que le moment dipolaire soit nul, les mouvements des électrons font que le barycentre des charges négatives (électrons) ne coïncide plus avec celui des charges positives (noyaux).

⇒ apparition d'un moment dipolaire instantané qui induit à son tour un dipôle sur une autre molécule (ex : Cl_2 ; Br_2).

Les interactions de London augmentent avec le numéro atomique Z , donc augmentent avec la taille des molécules.

Exemple :

